

広島大学工学部 正員 佐藤 誠

## 1. まえがき

地表付近の地盤に存在する種々の不均質状態のうち、耐震設計上問題となるのは主として地層および断層による地盤構造であろう。特にP波またはSV波として地震がこれら不均質部分に入射する場合には、不均質境界で常に2種類の震波が共存し、また入射角によつては表面波あるいは境界波が発生し、波動挙動の数値解析は必ずしも容易でない。一方前回報告した走行荷重入力を用いた動光弾性模型実験<sup>1)</sup>によると、これらに対する波動挙動は広い領域にわたり平明かつ詳細に観察できる。

ここでは入射パルス長に比較して十分短い中のスリットを有する模型と、そのスリット内に音響抵抗が1/2へ1/2.5であるような軟弱層物質を充填した断層模型に対する波動応答を動光弾性実験により比較した結果を報告する。

## 2. 模型および入射パルス波形

図-1(a), (b)にスリット模型を示す。このスリット内に軟層を充填したものが断層模型である。図においてO点を通る自由境界を地表と想定し、OQがスリット軸または断層軸である。それぞれの軸に対するP波、SV波の入射角はLおよびR側入射を行なうと3種類ずつとなる。たとえば(a)についてL側からのSV入射波の入射角は90°である。(b)についてR側からのSV入射波は地表に対してほぼ臨界角入射であり、L側からは垂直入射となる。

図-2(a)は図-1(b)のQ点附近で測定したP波とSV波の主ひずみ差としての入射波形であり、(b)、(c)は同じくQ点附近の入射P波、SV波それぞれの伝播方向の等色線図次数Nの分布である。Nは主応力差に比例し、図-2から入射パルス波形の主要部は継続時間約50μsec、対応するSV波のパルス長は約5cmである。

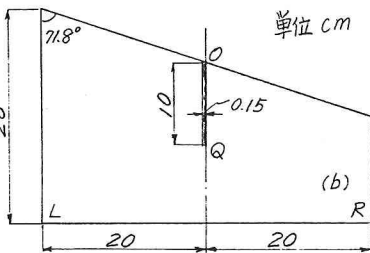
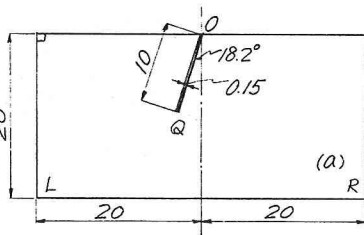


図-1 スリットおよび断層模型

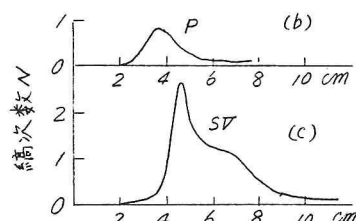
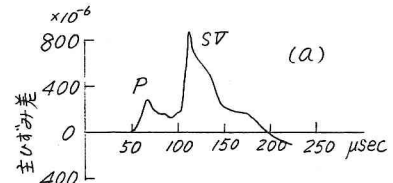


図-2 入射パルス波形

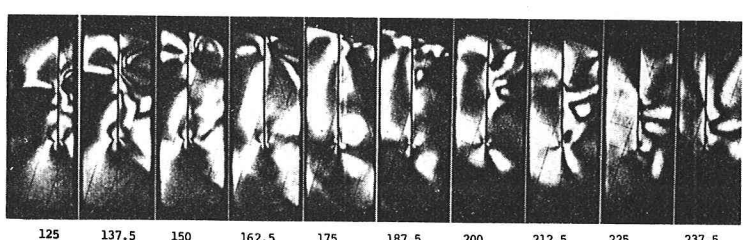
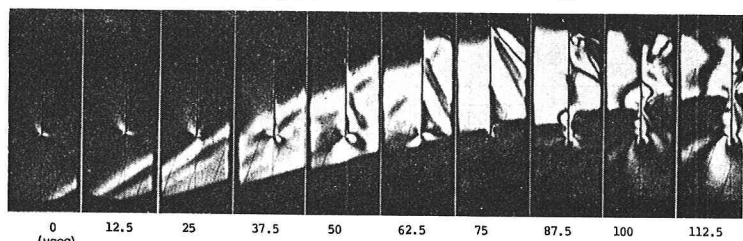


写真-1 スリット模型の等色線図写真 (図-1(b), R)

### 3. 動光弹性写真と縞次数分布

写真-1は図-1(b)のスリット模型に対するR側入射の場合の12.5  $\mu\text{sec}$  每の暗視野等色線縞模様写真的例である。こ、ではカラー写真をもとにしたモノクロ写真であるから細部は不鮮明であるが、スリット縞および地表付近の波動運動が縞模様から読み取れる。この場合P波、SV波入射いずれに対してもスリット底Qから円筒縦波と横波が発生し、それに伴なうhead waveが発生する。またQ点からはRayleigh波も発生し、スリット底のあたり場合には半無限境界の場合となり異なる波動運動となる。写真-1では50~75  $\mu\text{sec}$  においてスリット左縁から左下に伸びる波面はhead waveであり、右縁から右下に伸びる波面は入射P波による反射SV波の波面である。また100~150  $\mu\text{sec}$  では臨界角以上のSV波入射に右縁に沿ってRayleigh波が発生している。しかし反射SV波の波面はスリット底から発生したRayleigh波と重なり不鮮明になっている。まあスリット地表の鋭角側を直付近にはかなり大きさを縞次数の縞模様が発生している。

写真-2は写真-1のスリットにPCが1/2.5の軟層を充填した場合の同じ入射波に対する縞模様写真である。ここには示さなかったが、図-1(a)の模型に対する場合と同様に、スリット模型で生じたと同様の波動運動がスリット縞近傍に極めて強く現われている。写真-1と2を比較すると、写真-2で断層部に入射したP波、SV波とともに断層軸を越えて平面のままである。また137.5~162.5  $\mu\text{sec}$  においてSV波入射により地表に発生したRayleigh波はその状態をほとんど変えて地表に沿って断層軸を横切っており、縞模様から見る限り断層による影響はわざかであると思われる。

図-3に比較のためにスリット模型とそれに対応する断層模型について、SV波入射の効果が最も強く現われる137.5  $\mu\text{sec}$  でのスリット(断層)の左端境界に沿う縞次数の分布を示した。図中のθとγはそれを軸に対するP波とSV波の入射角である。スリット模型では入射角が少し程入射側境界(右縁)の縞応力が当然大きいが、 $\gamma=71.8^\circ$  のように左縁に直接入射波が到達しない場合にも、スリット底から発生する2次的の波による縞応力が右縁と同程度にならざり得る。断層模型では入射角に無関係に軸に対してほぼ対称な縞次数分布となつてあり、この程度のPC比の断層では非均質性が顕著ではないことが示されている。

1) 第2回年次学術講演概要集第1部 I-208, 動光弹性実験による地盤内の波動運動, pp.415~416, 1982

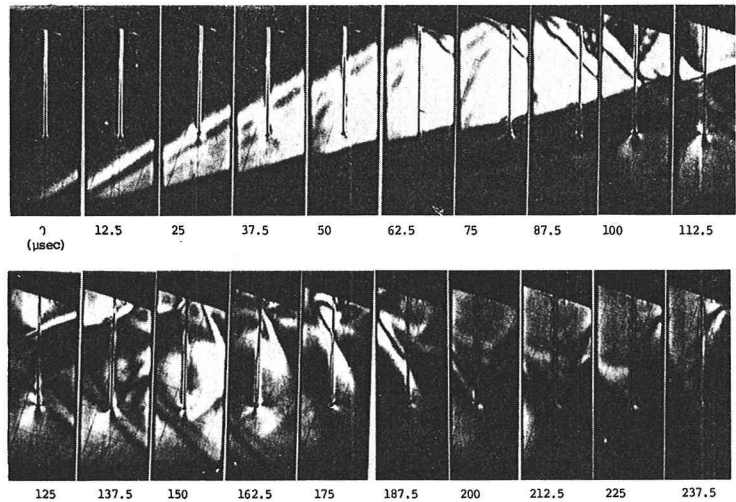


写真-2 断層模型の等色線縞写真 (図-1(b), R)

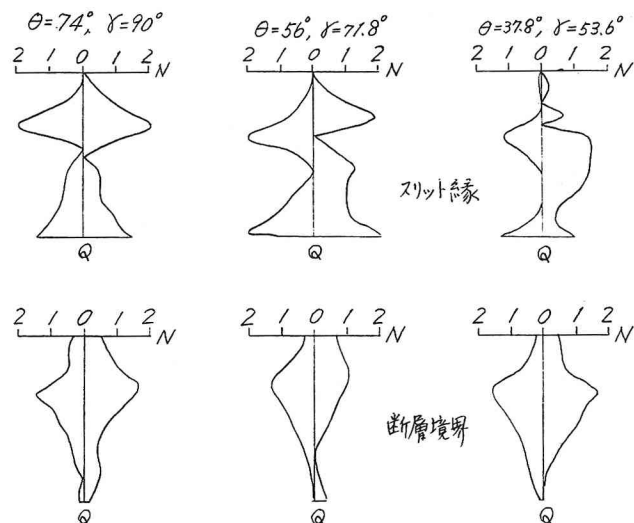


図-3 スリット縞および断層境界の縞次数分布 137.5  $\mu\text{sec}$

写真-1と2に極めて強く現われている。写真-1と2を比較すると、写真-2で断層部に入射したP波、SV波とともに断層軸を越えて平面のままである。また137.5~162.5  $\mu\text{sec}$  においてSV波入射により地表に発生したRayleigh波はその状態をほとんど変えて地表に沿って断層軸を横切っており、縞模様から見る限り断層による影響はわざかであると思われる。

図-3に比較のためにスリット模型とそれに対応する断層模型について、SV波入射の効果が最も強く現われる137.5  $\mu\text{sec}$  でのスリット(断層)の左端境界に沿う縞次数の分布を示した。図中のθとγはそれを軸に対するP波とSV波の入射角である。スリット模型では入射角が少し程入射側境界(右縁)の縞応力が当然大きいが、 $\gamma=71.8^\circ$  のように左縁に直接入射波が到達しない場合にも、スリット底から発生する2次的の波による縞応力が右縁と同程度にならざり得る。断層模型では入射角に無関係に軸に対してほぼ対称な縞次数分布となつてあり、この程度のPC比の断層では非均質性が顕著ではないことが示されている。